

## تحلیل عددی کمانش صفحه کامپوزیتی ساخته شده از الیاف منحنی با در نظر گرفتن اثرات همپوشانی‌ها و نواحی خالی از الیاف

حسین نوپور

عبدالرضا کبیری عطا‌آبادی\*

محمود مهرداد شکریه

### چکیده

در این تحقیق، کمانش صفحات کامپوزیتی مشکل از الیاف منحنی تحت فشار محوری، با لحاظ اثرات همپوشانی‌ها و نواحی خالی از الیاف و برای مسیرهای تغییر خطی زاویه الیاف و شعاع انحناء ثابت بررسی گردید. بهمنظور موقیت‌یابی نواقص مذکور و تعریف مراحل مدل‌سازی، برنامه‌ای به زبان پیتون توشه شده و تحلیل‌های عددی به کمک نرم‌افزار آباکوس انجام گردید. دو نسبت منظری طول به عرض مختلف برای صفحه کامپوزیتی لحاظ و نتیجه گرفته شد که برای صفحه با طول بزرگ‌تر از عرض آن، کارایی الیاف منحنی بیشتر است. نتایج نشان می‌دهد که بدون لحاظ اثرات همپوشانی‌ها و نواحی خالی از الیاف، بارکمانش صفحه کامپوزیتی با طول بزرگ‌تر از عرض آن، در حالت مسیر تغییر خطی زاویه الیاف، بیش از صست درصد و با مسیر شعاع انحناء ثابت، بیش از پنجاه درصد نسبت به بار کمانش بیشینه کامپوزیت مشکل از الیاف مستقیم، می‌تواند افزایش یابد. همچنین با لحاظ اثرات نواقص مذکور، بار کمانش در حالت صفحه کامپوزیتی دارای نواحی خالی از الیاف بیش از سی درصد و در حالت دارای همپوشانی بیش از نود درصد، برای هر دو مسیر می‌تواند افزایش یابد.

**واژه‌های کلیدی:** الیاف منحنی، مسیر تغییر خطی زاویه الیاف، مسیر شعاع انحناء ثابت، نواحی خالی از الیاف، همپوشانی‌ها.

## Buckling of Composite Plate Made of Curvilinear Fibers by Considering Gaps and Overlaps Effects

H. Nopour

A. R. Kabiri Ataabadi

M. Mehrdad Shokrieh

Department of Mechanical Engineering, Malek Ashtar University of Technology, Shahinshar, Iran

Department of Mechanical Engineering, Malek Ashtar University of Technology, Shahinshar, Iran

School of Mechanical Engineering, Iran University of Science and Technology, Tehran, Iran

### Abstract

In this research, buckling of composite plates made of curvilinear fiber with considering gap and overlap effects was studied. Two paths for curvilinear fiber were considered, namely, the linear variation of fiber angle and constant curvature path. An in-house computer program in Python language was written for locating the gaps and overlaps and modeling stages. Then the analysis was performed by ABAQUS finite element software. Two aspect ratios of length to width of the composite plate were considered. Results show that for plate with the length greater than the width, more improvement in buckling load was obtained by using curvilinear fibers. Also the results show that, without considering gap and overlap effects, the linear variation of fiber orientation and the constant curvature path caused more than sixty and fifty percent increase in the buckling load in comparison with maximum buckling load of the composites made of the straight fibers, respectively. For both paths, by considering gap and overlap effects, buckling load can increase more than thirty and ninety percent, respectively.

**Keywords:** Curvilinear fiber, Linear variation of fiber orientation path, Constant curvature path, Gaps, Overlaps.

در مورد کامپوزیت‌های الیاف منحنی، تاکنون مسیرهای مختلفی

بررسی شده است [۶]. در این تحقیقات، مسیر تغییر خطی زاویه الیاف

بیشتر مورد توجه قرار گرفته در حالی که استفاده از این مسیر، فضای

طراحی را محدود می‌سازد [۷]. اولمدو و گوردل [۸] و گوردل و

همکارانش [۹] با لحاظ تغییر خطی زاویه الیاف، به بررسی تأثیر الیاف

منحنی بر بار کمانش و سفتی صفحه کامپوزیتی پرداختند. زمانی و

همکارانش [۱۰] نیز با لحاظ تغییر خطی زاویه الیاف اثر شکل‌های

مختلف گشودگی را بر روی بار کمانش ورق کامپوزیتی مشکل از الیاف

منحنی مورد بررسی قرار دادند. تغییر خطی زاویه الیاف در تحقیقات

دیگری نیز مورد استفاده قرار گرفته است [۱۱]. مسیر شعاع انحناء

ثبت یکی از مسیرهایی است که در آن زاویه الیاف به صورت غیرخطی

تغییر می‌کند. آریان‌نیک و همکارانش [۱۲] و فیاض‌یخش و همکارانش

[۱۳] به بهینه‌سازی بار کمانش صفحه کامپوزیتی با لحاظ مسیر شعاع

انحناء ثابت پرداختند. همچنین تأثیر مسیرهای با تغییر خطی و

### - مقدمه

یکی از بارگذاری‌های متدائل بر روی سازه‌های کامپوزیتی،  
بارگذاری فشار محوری است که معمولاً در این مورد، کمانش از تحلیل  
تنش اهمیت بیشتری دارد. در این زمینه تحقیقات فراوانی از جمله  
کمانش پوسته استوانه‌ای [۱] و [۲] و نیم استوانه مشبک [۳] صورت  
گرفته است. قابل توجه است که کمانش تحت بارگذاری‌های دیگر نیز  
موضوع سیاری از تحقیقات از جمله [۴] و [۵] بوده است.

استفاده از کامپوزیت‌های الیاف منحنی در صنایع هوا فضا و ... به  
خاطر خصوصیات مکانیکی بهتر نسبت به صفحات کامپوزیتی الیاف  
مستقیم، در حال افزایش است. برای صفحه کامپوزیتی با الیاف منحنی،  
بار بیشینه کمانش به میزان نواقص ساخت نیز مربوط بوده، لذا با توجه  
به ایجاد نواقصی چون نواحی خالی از الیاف و همپوشانی‌ها در حین  
ساخت این کامپوزیت‌ها، مطالعه اثرات آن‌ها اجتناب‌ناپذیر می‌باشد.

\* نویسنده مکاتبه کننده، آدرس پست الکترونیکی: a.kabiri.at@mut-es.ac.ir

تاریخ دریافت: ۹۶/۱۰/۲۵

تاریخ پذیرش: ۹۷/۱۰/۱۴

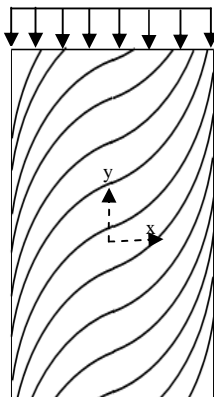
غیرخطی (چندجمله‌ای لاغرانژی) زاویه الیاف، توسط وو و همکارانش [۱۶] مقایسه گردید. آن‌ها دریافتند که چندجمله‌ای لاغرانژی عملکرد بهتری را نسبت به تغییر خطی نتیجه می‌دهد. هالو و همکارانش [۱۴] با استفاده از روش شار میدان، مسیری با تغییر غیرخطی زاویه الیاف برای بهینه‌سازی بار کمانش صفحه دارای گشودگی دلخواه یافتند. نوپور و همکارانش [۱۵] تحلیل کمانش صفحه کامپوزیتی متشكل از الیاف منحنی را با لحاظ مسیرهای تغییر خطی زاویه الیاف و شعاع انحناء ثابت، انجام داده و دریافتند که مسیر شعاع انحناء ثابت به میزان کمی نتایج بهتری را حاصل می‌دهد. در زمینه تحلیل اثرات همپوشانی‌ها و نواحی خالی از الیاف، بلوم و همکارانش [۱۶] و فیاض‌پخش و همکارانش [۱۳] تحقیقاتی انجام دادند. همچنین در این زمینه، در سال‌های اخیر تحقیقات آزمایشگاهی نیز انجام گردید [۱۷] و [۱۸].

به علت محدود بودن تحقیقاتی که اثرات همپوشانی‌ها و نواحی خالی از الیاف در آن لحاظ گردیده، انجام تحقیقی با لحاظ اثرات مذکور ضروری به نظر می‌رسد. همچنین در تحقیقات گذشته، اثر نسبت منظری بر کارایی الیاف منحنی در افزایش بار کمانش صفحه کامپوزیتی تحت بار فشار محوری بررسی نشده است. لذا این موضوع نیز یکی دیگر از اهداف این تحقیق است.

## ۲- تبیین مسأله و معادلات حاکم

### ۲-۱- نوع بارگذاری و شرایط مرزی

در این تحقیق صفحه کامپوزیتی تحت بارگذاری فشاری محوری فرار دارد. در شکل ۱، شرایط مرزی نشان داده شده است.



شکل ۳- صفحه کامپوزیتی با الیاف منحنی انتقال یافته در جهت بارگذاری

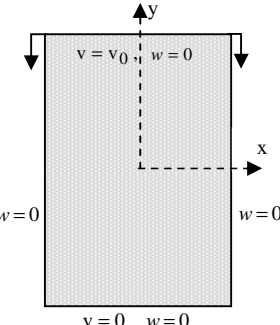
معادله (۱) توسط اولمدو و همکارش [۸] و گوردل و همکارش [۱۹] برای تغییر خطی زاویه الیاف در حالت انتقال در جهت y استفاده شد.

$$(1) \quad \theta(x) = T_0 + 2(T_1 - T_0) \frac{|x|}{a}$$

در معادله (۱)،  $\theta$  زاویه الیاف در هر نقطه از صفحه کامپوزیتی،  $x$  مختصات عرضی نقطه و  $a$  عرض صفحه کامپوزیتی است. معادله ۲ نیز توسط بلوم و همکارانش [۱۶] برای تغییر زاویه الیاف در مسیر شعاع انحناء ثابت و در حالت انتقال در جهت y استفاده گردید.

$$(2) \quad \sin[\theta(x)] = \sin(T_0) - \frac{|x|}{R}$$

در معادله (۲)،  $\theta$  زاویه الیاف در هر نقطه از صفحه،  $x$  مختصات طولی نقطه و  $R$  شعاع انحناء مسیر الیاف است. با توجه به روابط (۱) و (۲) معادله مسیر الیاف مرجع برای تغییر خطی زاویه الیاف و مسیر



شکل ۱- شرایط مرزی صفحه کامپوزیتی تحت بار محوری فشاری

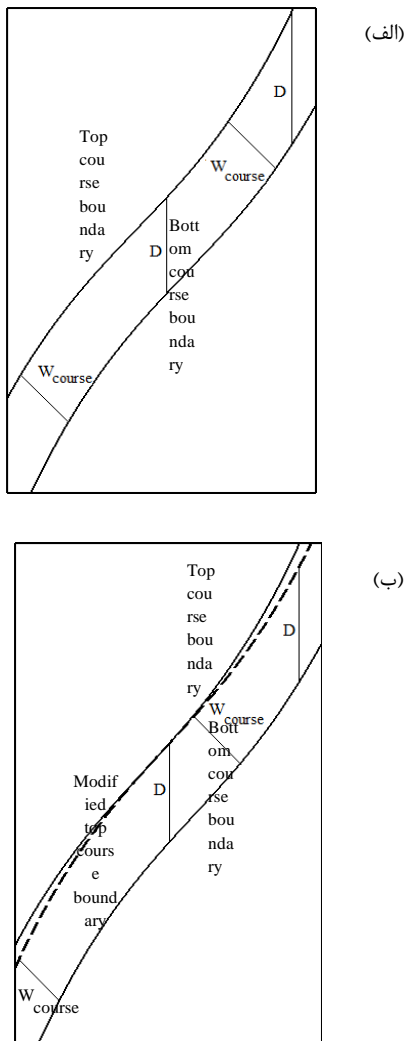
مطابق با شکل ۱، هر چهار لبه صفحه در برابر جایجای خارج از صفحه مقید بوده ( $w=0$ ) و لبه پایینی که به عنوان تکیه‌گاه عمل می‌کند، در جهت اعمال بار نیز مقید است ( $v=0$ ). سایر جایجایی‌ها و چرخش‌ها برای هر چهار لبه آزاد می‌باشد.

### ۲-۲- معادله مسیر الیاف منحنی

معادله مسیر الیاف منحنی برای دو مسیر تغییر خطی زاویه الیاف و شعاع انحناء ثابت، با دو پارامتر زاویه در وسط صفحه  $T_0$  و زاویه در لبه‌های کناری،  $T_1$  بیان و با علامت  $\langle T_0 | T_1 \rangle$  نشان داده می‌شود. برای ساخت یک صفحه کامپوزیتی، دستگاه الیاف‌گذار اتوماتیک<sup>۱</sup>، اولین

<sup>۱</sup> Automated fiber placement

که این کورس در جهت y انتقال داده شود به علت فواصل D متغیر، همپوشانی و یا ناحیه خالی از الیاف بزرگی اتفاق می‌افتد. اگر مرزهای بالایی کورس مطابق شکل ۴ ب) اصلاح گردد، آنگاه همپوشانی و یا ناحیه خالی از الیاف کوچکتری حاصل خواهد شد. بدین منظور می‌بایست دسته الیافی که به مرز اصلاح شده می‌رسد، بریده شود.



شکل ۴- مرزهای کورس مرجع (برگرفته از مرجع [۲۰] و [۲۱])  
(الف) عرض کورس ثابت (ب) فاصله عمودی ثابت

شعاع انحناء ثابت، به ترتیب مطابق روابط (۳) و (۴) است.  
برای  $x \leq 0$

$$y_{centerline} = \frac{a}{2(T_1 - T_0)} \times$$
(۳)

$$\left\langle \ln \left\{ \cos \left[ T_0 + 2(T_1 - T_0) \frac{(-x)}{a} \right] \right\} - \ln [\cos(T_0)] \right\rangle$$
برای  $x \geq 0$

$$y_{centerline} = \frac{a}{2(T_1 - T_0)} \times$$

$$\left\langle -\ln \left\{ \cos \left[ T_0 + 2(T_1 - T_0) \frac{x}{a} \right] \right\} + \ln [\cos(T_0)] \right\rangle$$

برای  $T_0 < T_1$  و  $x \leq 0$

$$y_{centerline} = \sqrt{R^2 - [x - R \sin(T_0)]^2} - R \cos(T_0)$$

برای  $T_0 < T_1$  و  $x \geq 0$

$$y_{centerline} = -\sqrt{R^2 - [x + R \sin(T_0)]^2} + R \cos(T_0)$$

برای  $T_0 > T_1$  و  $x \leq 0$

$$y_{centerline} = -\sqrt{R^2 - [x + R \sin(T_0)]^2} + R \cos(T_0)$$

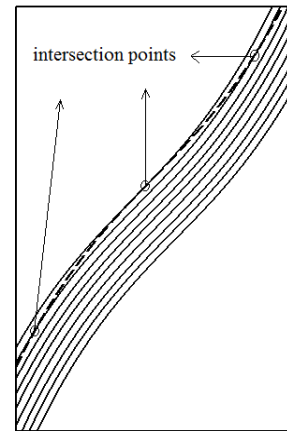
برای  $T_0 > T_1$  و  $x \geq 0$

$$y_{centerline} = \sqrt{R^2 - [x - R \sin(T_0)]^2} - R \cos(T_0)$$

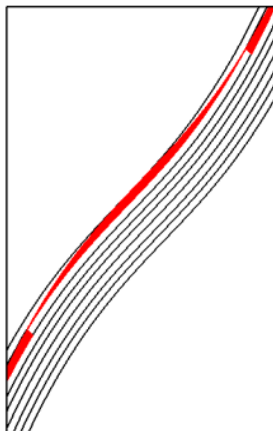
محدودیت عملی بودن ایجاد زوایا به این معنی است که در یک کورس با نزدیک شدن زاویه  $T_1$  به  $90^\circ$  درجه، زاویه الیافی که زیر خط مرکزی کورس قرار دارند قبل از رسیدن به لبه صفحه برابر با  $90^\circ$  درجه شده و بنابراین ایجاد کورس به صورت عملی امکان‌پذیر نیست. علت این است که گویا الیافی که در هر کورس با فاصله از الیاف مرجع قرار دارد، عمود بر الیاف مرجع انتقال می‌یابد، چون در واقع دستگاه الیاف‌گذار اتوماتیک یک کورس را خم کرده و در مسیر خود قرار می‌دهد.

### ۳-۲- همپوشانی‌ها و نواحی خالی از الیاف

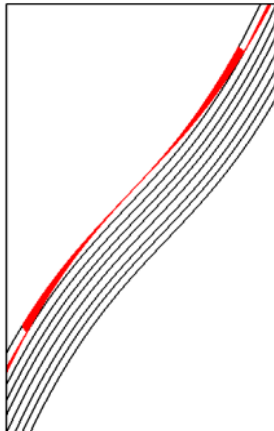
هنگام ساخت یک کامپوزیت مشکل از الیاف منحنی، برای جلوگیری از ایجاد همپوشانی و یا ناحیه خالی از الیاف بزرگ، دسته الیافی که با مرز کورس‌ها تقاطع پیدا می‌کند، بریده می‌شود. برای مدل نمودن همپوشانی‌ها و نواحی خالی از الیاف در نرم‌افزار اجزاء محدود، باید مکان‌هایی را که در آن همپوشانی و یا ناحیه خالی از الیاف اتفاق می‌افتد، شناسایی نمود. در کورس اصلاح نشده، عرض کورس ثابت بوده اما فاصله عمودی بین مرز بالایی و پایینی کورس که در شکل ۴ با پارامتر D نشان داده شده، در طی مسیر کورس متغیر است. در صورتی



(الف) نقاط تقاطع کورس بالایی با دسته الیافها



(ب) نواحی خالی از الیاف



(ج)

شکل ۵- یافتن موقعیت نواحی خالی از الیاف و همپوشانی ها برگرفته از مرجع [۲۰]  
(الف) نقاط تقاطع کورس بالایی با دسته الیافها (ب) نواحی خالی از الیاف (ج) همپوشانی ها

جدول ۱- خواص کامپوزیت کربن/ایوکسی ۱-G40-800/5276-۱

مقدار	خاصیت
۱۴۳ گیگاپاسکال	E <sub>1</sub>
۹/۱ گیگاپاسکال	E <sub>2</sub>
۴/۸ گیگاپاسکال	G <sub>12</sub>
۰/۳	v <sub>12</sub>
۰/۱۵۹ میلی متر	ضخامت هر لایه

در جدول ۱، E<sub>1</sub> مدول الاستیسیته در جهت الیاف، E<sub>2</sub> مدول الاستیسیته در جهت ماتریس، G<sub>12</sub> مدول الاستیسیته برشی و v<sub>12</sub> نسبت پواسون می باشد.  
در این تحقیق از حل کمانش خطی نرمافزار اجزاء محدود آباکوس و المان S4R برای استخراج بار و شکل مود کمانش استفاده گردید. این المان، یک المان چهارگرهای با نقاط انتگرال گیری کاوش یافته بوده که به وفور و با دقت مناسب در تحلیل های الاستیک مورد استفاده قرار گیرد.

دو روش برای مدل نمودن همپوشانی ها و نواحی خالی از الیاف وجود دارد. در روش اول [۱۶]، ابتدا المان های با ابعاد مناسب به گونه ای ایجاد شده که تنها کامپوزیت یا همپوشانی ها و یا نواحی خالی از الیاف در المان قرار گیرند؛ سپس به المان های شامل کامپوزیت، خواص کامپوزیت و به المان های شامل نواحی خالی از الیاف خواص رزین اختصاص داده می شود. همچنین المان های شامل همپوشانی دارای خواص کامپوزیت بوده اما ضخامت آن المان مناسب با تعداد لایه های همپوشانی افزایش می یابد. در روش دوم [۱۳]، شبکه بندی المان ها به گونه ای است که هر المان می تواند همزمان شامل کامپوزیت، کامپوزیت و نواحی خالی از الیاف و یا کامپوزیت و همپوشانی باشد. سپس به المان های شامل کامپوزیت، خواص کامپوزیت و به المان هایی که شامل کامپوزیت و نواحی خالی از الیاف و یا کامپوزیت و همپوشانی هستند، به ترتیب خواص معادل و یا ضخامت معادل (بر حسب درصد مساحت

بنابراین همپوشانی و یا ناحیه خالی از الیاف در محل تقاطع دسته های الیاف با مرز اصلاح شده ایجاد می گردد. برای پیدا کردن محل همپوشانی و یا ناحیه خالی از الیاف، باید معادله مرز اصلاح شده و محل تقاطع آن با دسته های الیاف را یافت. محل تقاطع دسته های الیاف با مرز اصلاح شده و مکان همپوشانی و ناحیه خالی از الیاف به ترتیب در شکل ۵ (الف)، ۵ (ب) و ۵ (ج) نشان داده است.  
جهت تعیین معادله مرز اصلاح شده بالای کورس، باید معادله مرز پایین کورس تعیین گردیده و به اندازه D انتقال باید. معادله مرز پایین کورس از انتقال معادله مسیر الیاف مرجع به میزان  $\left( \frac{W_{course}}{2} \right) \sin[\theta(x)]$  در راستای محور x و به میزان  $\left( \frac{W_{course}}{2} \right) \cos[\theta(x)]$  در راستای محور y بددست می آید. مقدار D نیز از فاصله عمودی بین مرز بالایی کورس اصلاح نشده و مرز پایینی کورس، حاصل می گردد. این فاصله در حالت  $T_0 < T_1$ ، در مبدأ مختصات و در حالت  $T_1 > T_0$ ، در لبه ها محاسبه می گردد.

### ۳- تحلیل عددی

#### ۳-۱- نحوه مدل سازی

کامپوزیت های متخلک از الیاف منحنی از نوارهای پیش آغشته با عرض ۰,۰۰۳۱۷۵، ۰,۰۰۶۳۵ و ۰,۰۱۷۷ متر که در دسته های ۸، ۱۶ و ۲۴ یا ۳۲ تایی به عنوان یک کورس قرار می گیرند، ساخته می شوند. در تحقیق حاضر، فرض شده که صفحه کامپوزیتی از نوارهای پیش آغشته کربن/ایوکسی ۱-G40-800/5276-۱ با عرض ۰,۰۰۳۱۷۵ متر که در دسته های ۸ تایی کنار هم قرار گرفته اند، ساخته شده است. خواص مکانیکی این ماده در جدول ۱ ارایه گردیده است.

الیاف تعریف شده و زاویه الیاف در هر المان به وابسته به مختصات مرکز آن المان می‌باشد؛ به این نحو که با توجه به مختصات مرکز هر المان و با استفاده از معادله ۱ یا ۲ زاویه الیاف در آن نقطه تعیین می‌شود. همچنین این برنامه به المان‌هایی که قبلًاً به صورت اورفان‌مش<sup>۱</sup> تولید شده و به عنوان ورودی به برنامه فراخوانده می‌شود، خواص ماده و ضخامت المان را نیز اختصاص می‌دهد. تعریف سایر قسمت‌های مرتبط با تحلیل سازه‌ای همانند شرایط بارگذاری، شرایط مرزی و نوع تحلیل نیز توسط این برنامه پیشون انجام می‌گیرد. در نهایت این برنامه توسط محیط گرافیکی نرم‌افزار آباکوس فراخوانده شده و خروجی که بار کمانش است، به دست می‌آید.

## ۲-۳- اعتبارسنجی نتایج تحقیق حاضر با نتایج موجود در مراجع

جهت اعتبارسنجی، در جدول ۲ نتیجه تحلیل عددی بار کمانش صفحه کامپوزیتی دارای همپوشانی با نتیجه حاصل از آزمایش موجود در مرجع [۱۷] مقایسه شده است. شایان ذکر است که مسیر الیاف در مرجع [۱۷]، مسیر تغییر خطی زاویه الیاف است. مطابق مرجع [۱۷] صفحه کامپوزیتی دارای ابعاد برابر عرض ۰،۲۵۴ متر و طول ۰،۴۰۶۴ متر بوده و شرایط مرزی نیز مطابق شکل ۱ می‌باشد. همچنین از ماده کربن/اپوکسی-۱ G40-800/5276-1 برای ساختن صفحه کامپوزیتی استفاده شده که خواص مکانیکی آن در مرجع [۱۷] ذکر گردیده است.

جدول ۲- بار کمانش صفحه کامپوزیتی دارای همپوشانی با لایه‌چینی  $\left[ \pm 49|41 \right] / \pm 48|61 / \pm 57|73 / \pm 72|77$  در مطالعه حاضر و نتایج مرجع [۱۷]

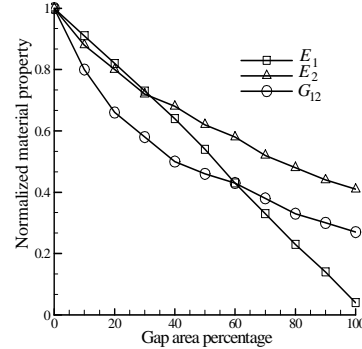
نتیجه مرجع [۱۷] حاصل از آزمایش (KN)	بار کمانش حاصل از تحلیل عددی در تحقیق حاضر (KN)
۱۸،۹۷	۲۰،۱۷۳

بر اساس جدول ۲، نتیجه تحلیل عددی با نتیجه آزمایش تطبیق مناسبی دارد و اختلاف ۷ درصدی موجود نیز می‌تواند ناشی از عواملی چون تنش‌های پسماند حرارتی و عیوب اولیه ناشی از ساخت بوده که در مدل عددی لحاظ نگردیده است. ضمناً هنگامی که همپوشانی ایجاد می‌گردد، بهعلت این که بهصورت موضعی تعدادی لایه بر روی هم قرار گیرد، خواص الاستیک معادل این لایه‌ها کاهش یافته و با توجه به این که این پدیده در تحلیل‌های عددی لحاظ نگردیده (خواص کاهش یافته در تحلیل‌ها استفاده نشده است) موجب شده تا بار کمانش حاصل از تحلیل عددی بیشتر از بار کمانش حاصل از آزمایش بهدست آید. علاوه بر این استفاده از تحلیل خطی کمانش نیز می‌تواند منشأ دیگری برای اختلاف مذکور باشد.

## ۳-۳- کمانش صفحه کامپوزیتی با نسبت منظری طول به عرض بزرگ‌تر از یک

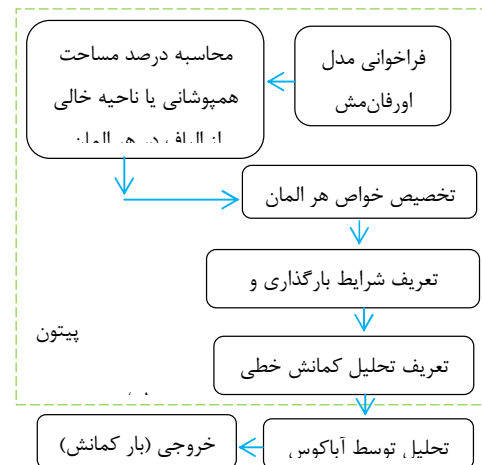
ناوی خالی از الیاف و یا همپوشانی‌ها در آن المان) اختصاص می‌یابد. شایان ذکر است که دقت روش دوم با تعداد المان‌های برابر بیشتر از روش اول می‌باشد [۱۳].

در این تحقیق از روش دوم برای مدل نمودن همپوشانی‌ها و ناوی خالی از الیاف استفاده گردید. بنابراین در شکل ۶ خواص الاستیک بی‌بعد شده المان شامل ماده ۱-۲ G40-800/5276-1 که از مرجع [۱۳] استخراج شده، بر حسب درصد مساحت ناحیه خالی از الیاف نشان داده شده است. محور عمودی در شکل ۶ از تقسیم کردن خواص معادل المان شامل ناوی خالی از الیاف به خواص ماده کامپوزیت حاصل شده است.



شکل ۶- خواص الاستیک بی‌بعد شده المان شامل ماده ۱-۲ G40-800/5276-1 بر حسب درصد مساحت ناحیه خالی از الیاف (برگرفته از مرجع [۱۳])

همچنین جهت مدل نمودن همپوشانی‌ها، درصد مساحت همپوشانی در هر المان، معادل درصد ضخامت المان مربوطه در نظر گرفته شده و به همان میزان به ضخامت آن المان اضافه می‌گردد. در این تحقیق، برای مدل‌سازی همپوشانی‌ها و ناوی خالی از الیاف، برنامه‌ای به زبان پیشون نوشته شد. در شکل ۷ مراحل انجام تحلیل‌های اجزاء محدود به کمک این برنامه نشان داده است.

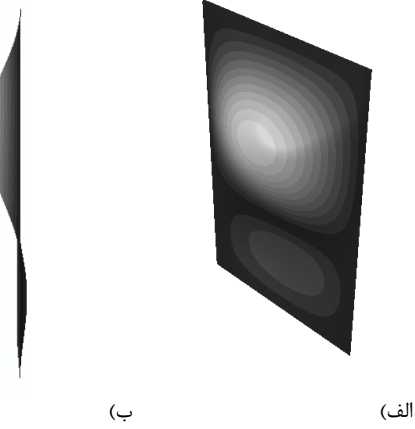


شکل ۷- طرحواره مراحل انجام تحلیل‌های اجزاء محدود

مطابق شکل ۷، تعریف زوایا در هر نقطه از هر لایه نیز با استفاده از برنامه مذکور انجام می‌گیرد. با استفاده از این برنامه معادله تغییر زاویه

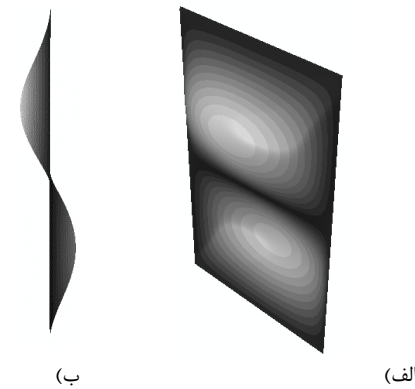
<sup>۱</sup> Orphan mesh

مطابق انتظار، همپوشانی‌ها موجب افزایش و نواحی خالی از الیاف موجب کاهش بار کمانش شده‌اند. در شکل ۸، شکل مود اول کمانش برای لایه‌چینی  $_{4s}^{[45]}$  نشان داده شده است.



شکل ۸- شکل مود کمانش برای لایه‌چینی  $_{4s}^{[45]}$ : (الف) نمای ایزوتropیک، (ب) نمای جانبی

در شکل ۹ نیز شکل مود اول کمانش برای لایه‌چینی‌های  $\pm\langle 0|80\rangle_{4s}$ ،  $\pm\langle 20|70\rangle_{4s}$  و  $\pm\langle 30|72\rangle_{4s}$  که مشابه یکدیگر است، ارایه شده است.



شکل ۹- شکل مود کمانش برای لایه‌چینی‌های  $\pm\langle 0|80\rangle_{4s}$ ،  $\pm\langle 20|70\rangle_{4s}$  و  $\pm\langle 30|72\rangle_{4s}$ : (الف) نمای ایزوتropیک، (ب) نمای جانبی

شایان ذکر است که برای لایه‌چینی‌های ارائه شده در شکل ۹ و سایر لایه‌چینی‌های مربوط به الیاف منحنی شکل که در این تحقیق مورد مطالعه قرار گرفته، شکل مود کمانش در هر سه حالت صفحه دارای نواحی خالی از الیاف، صفحه دارای همپوشانی و یا صفحه بدون نواقص مذکور، مشابه یکدیگر است.

طبق نتایج تحقیقات گذشته [۸، ۹، ۱۵]، بیشترین بار کمانش متعلق به لایه‌چینی‌های با زوایای کوچک در مرکز صفحه و زوایای بزرگ در لبه‌ها است. با توجه به جداول ۴ تا ۶، با لحاظ اثرات همپوشانی‌ها و یا نواحی خالی از الیاف نیز این موضوع صادق است. در شکل‌های ۱۰ تا ۱۲ نمودار بار کمانش نسبت به تغییر زاویه  $T_1$

در این تحقیق، در ابتدا صفحه کامپوزیتی با عرض ۰/۲۵۴ متر و طول ۰/۴۰۶۴ متر (نسبت منظری بزرگتر از یک) و با لایه-چینی  $\pm\langle T_0 | T_1 \rangle_{4s}$  در نظر گرفته شد.

برای یافتن بیشینه بار کمانش، مقدار آن به ازاء هر ۱۰ درجه برای  $T_0$  و  $T_1$  محاسبه شده و بار کمانش مربوط به بیشترین زاویه  $T_1$  که محدودیت مربوط به عملی بودن زوایا را نقض نکند، نیز لحاظ گردیده است.

ابعاد المان استفاده شده برای صفحه کامپوزیتی، ۳×۳ میلی‌متر می‌باشد. این اندازه با توجه به جدول ۳ انتخاب شده است. طبق جدول ۳، المان با ابعاد ۳ میلی‌متر از دقت مناسبی برخوردار بوده و زمان حل مناسبی نیز با این ابعاد حاصل می‌گردد.

جدول ۳- همگرایی بار کمانش صفحه کامپوزیتی با لایه‌چینی  $\pm\langle 0|10\rangle_{4s}$  با تغییر ابعاد المان

اندازه المان (میلی‌متر)	بار کمانش با لحاظ نواحی خالی از الیاف (N)	همپوشانی (N)
۱۰	۵۰۹۰	۵۷۳۸
۵	۵۱۵۱	۵۸۰۴
۳	۵۱۶۵	۵۸۰۹
۱/۵	۵۱۷۵	۵۸۱۰

در جداول ۴ تا ۶ به ترتیب بیشینه بار کمانش، لایه‌چینی متناظر با آن و درصد افزایش بار کمانش با استفاده از الیاف منحنی بیان شده است. این نتایج بدون اعمال قید کمترین شعاع انحنای مجاز حاصل گردید. در جداولی که از این قسمت تا انتهای مقاله آمده، a، b و c به ترتیب نشان‌گر الیاف مستقیم، مسیر تغییر خطی زاویه الیاف و مسیر شعاع انحنای ثابت است. همچنین منظور از نواقص ساخت، همپوشانی‌ها و نواحی خالی از الیاف می‌باشد.

جدول ۴- بیشینه بار کمانش صفحه کامپوزیتی مت Shank از الیاف مستقیم و منحنی

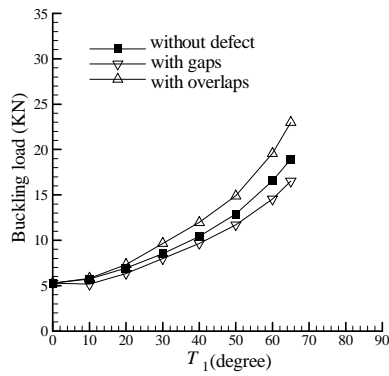
مسیر الیاف	بدون لحاظ نواحی خالی از الیاف (N)	بدون لحاظ همپوشانی - ساخت (N)	با لحاظ نواحی خالی از الیاف (N)
a	۱۵۵۳۶	-	-
b	۲۵۵۱۵	۳۰۴۶۲	۲۱۳۶۲
c	۲۳۹۲۱	۲۹۸۰۸	۲۰۵۷۶

جدول ۵- لایه‌چینی متناظر با بار کمانش بیشینه صفحه کامپوزیتی مت Shank از الیاف مستقیم و منحنی

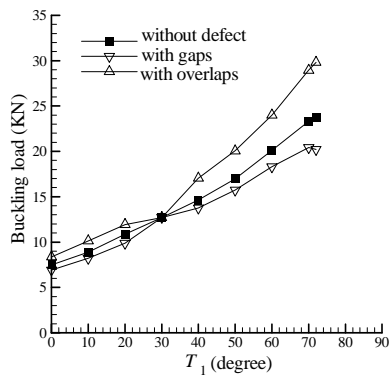
مسیر الیاف	بدون لحاظ نواحی خالی از الیاف	بدون لحاظ همپوشانی - ساخت	با لحاظ نواحی خالی از الیاف
a	[±45] <sub>4s</sub>	-	-
b	±⟨0 80⟩ <sub>4s</sub>	±⟨0 80⟩ <sub>4s</sub>	±⟨0 80⟩ <sub>4s</sub>
c	±⟨20 70⟩ <sub>4s</sub>	±⟨30 72⟩ <sub>4s</sub>	±⟨20 70⟩ <sub>4s</sub>

جدول ۶- درصد افزایش بار کمانش نسبت به الیاف مستقیم

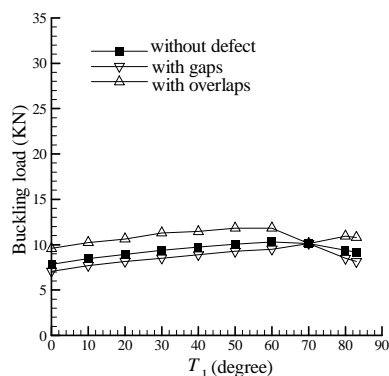
مسیر الیاف	بدون لحاظ نواحی خالی از الیاف	بدون لحاظ همپوشانی - ساخت	با لحاظ نواحی خالی از الیاف
b	۶۴	۹۶	۳۸



شکل ۱۳- بار کمانش نسبت به تغییر زاویه  $T_1$  در حالت مسیر  
شعاع انحناء ثابت و برای زاویه  $T_0$  برابر با  $0^\circ$  درجه



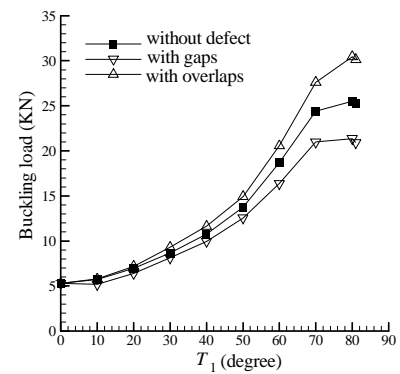
شکل ۱۴- بار کمانش نسبت به زاویه  $T_1$  در حالت مسیر  
انحناء ثابت و برای زاویه  $T_0$  برابر با  $30^\circ$  درجه



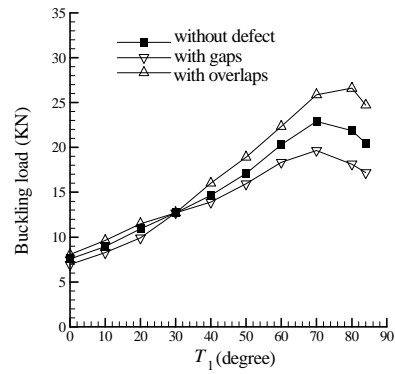
شکل ۱۵- بار کمانش نسبت به زاویه  $T_1$  در حالت مسیر  
انحناء ثابت و برای زاویه  $T_0$  برابر با  $70^\circ$  درجه

با توجه به شکل های ۱۰ تا ۱۵ و همچنین با لحاظ نتایج سایر زاویای  $T_0$  و  $T_1$  که به علت اختصار در مقاله ارائه نشده، مشخص می-گردد که تأثیر همپوشانی ها و یا نواحی خالی از الیاف برای زاویه  $T_0$  و  $T_1$  کوچک قابل توجه نمی باشد. در این مورد به علت این که راستای قرار گیری همپوشانی ها و یا نواحی خالی از الیاف به خاطر کوچک بودن زاویای  $T_0$  و  $T_1$ ، با راستای اعمال بار زاویه زیادی دارد، تأثیر چندانی در افزایش و یا کاهش بار کمانش نخواهد داشت. در صورتی که زاویه  $T_0$  بزرگتر از  $40^\circ$  درجه باشد و یا زاویه  $T_0$  کوچکتر از  $40^\circ$  درجه بوده اما

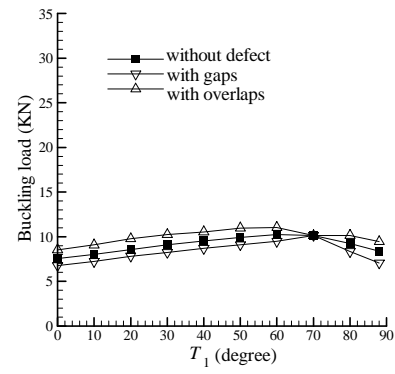
برای مسیر تغییر خطی زاویه الیاف و برای زاویه  $T_0$  به ترتیب برابر با  $30^\circ$  و  $70^\circ$  درجه نشان داده شده است.



شکل ۱۰- بار کمانش نسبت به تغییر زاویه  $T_1$  در حالت مسیر  
تغییر خطی زاویه الیاف و برای زاویه  $T_0$  برابر با  $0^\circ$  درجه

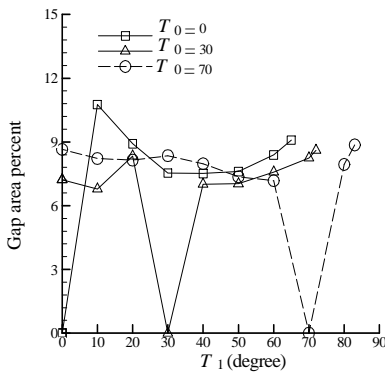


شکل ۱۱- بار کمانش نسبت به تغییر زاویه  $T_1$  در حالت مسیر  
تغییر خطی زاویه الیاف و برای زاویه  $T_0$  برابر با  $30^\circ$  درجه



شکل ۱۲- بار کمانش نسبت به تغییر زاویه  $T_1$  در حالت مسیر  
تغییر خطی زاویه الیاف و برای زاویه  $T_0$  برابر با  $70^\circ$  درجه

در شکل های ۱۳ تا ۱۵ نیز نمودار بار کمانش نسبت به تغییر زاویه  $T_1$  برای مسیر شعاع انحناء ثابت و برای زاویه  $T_0$  به ترتیب برابر با  $30^\circ$  و  $70^\circ$  درجه ارائه شده است.



شکل ۱۹- درصد مساحت نواحی خالی از الیاف نسبت به تغییر زاویه  $T_1$  در حالت مسیر شعاع انحناء ثابت

طبق شکل های ۱۶ تا ۱۹، در حالت بیشینه بار کمانش، افزایش جرم صفحه کامپوزیتی برای صفحه دارای همپوشانی، در حالات مسیر تغییر خطی زاویه الیاف و شعاع انحناء، ثابت، به ترتیب ۹ و ۷ درصد می باشد. علاوه بر جهتگیری همپوشانی ها و نواحی خالی از الیاف، میزان مساحت آنها نیز بر روی بار کمانش مؤثر است. با افزایش اختلاف بین  $T_0$  و  $T_1$ ، مساحت همپوشانی ها و نواحی خالی الیاف افزایش می یابد. علت این است که با افزایش اختلاف بین  $T_0$  و  $T_1$ ، نقاط برخورد مرز بالایی کورس اصلاح شده با دسته الیاف های واقع در یک کورس، افزایش یافته که بالتبع تعداد محل های همپوشانی ها و نواحی خالی از الیاف و در نتیجه مساحت آنها افزایش می یابد. کمترین شعاع انحناء مجاز برای دستگاه الیاف گذار اتوماتیک ۰،۶۳۵ متر است [۱۲ و ۱۳]. با در نظر گرفتن این قید ساخت، در جداول ۷ و ۸ به ترتیب مقادیر بیشینه بار کمانش، لایه چینی متناظر با آن و درصد افزایش بار کمانش با استفاده از الیاف منحنی ارائه شده است.

جدول ۷- بیشینه بار کمانش با در نظر گرفتن قید ساخت

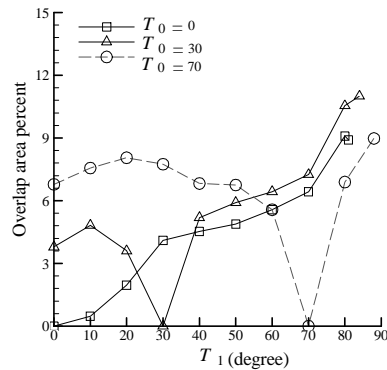
با لحاظ نواحی خالی از الیاف (N)	با لحاظ همپوشانی ها (N)	بدون لحاظ نواقص ساخت (N)	مسیر الیاف
-	-	۱۵۵۳۶	a
۱۶۵۵۲	۱۹۳۵۳	۱۷۶۶۵	b
۱۶۹۶۳	۲۱۶۰۸	۱۸۴۲۲	c

جدول ۸- لایه چینی متناظر با بار کمانش بیشینه با در نظر گرفتن  
قید ساخت

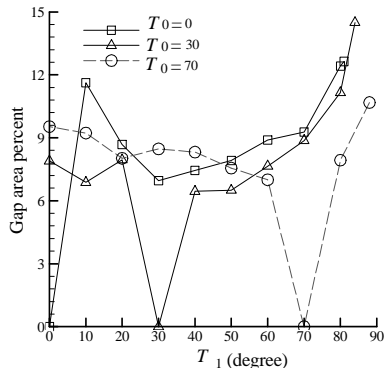
با لحاظ نواحی خالی از الیاف	با لحاظ همپوشانی ها	بدون لحاظ نواقص ساخت	مسیر الیاف
-	-	[±45] <sub>4s</sub>	a
±⟨40 54⟩ <sub>4s</sub>	±⟨40 54⟩ <sub>4s</sub>	±⟨40 54⟩ <sub>4s</sub>	b
±⟨40 57⟩ <sub>4s</sub>	±⟨40 57⟩ <sub>4s</sub>	±⟨40 57⟩ <sub>4s</sub>	c

با مقایسه لایه چینی های موجود در جدول ۸، مشخص می گردد که مقدار زوایای  $T_0$  و  $T_1$  به زاویه ۴۵ درجه که بیشترین بار کمانش را برای الیاف مستقیم نتیجه می دهد، نزدیک می گردد. در واقع با اعمال

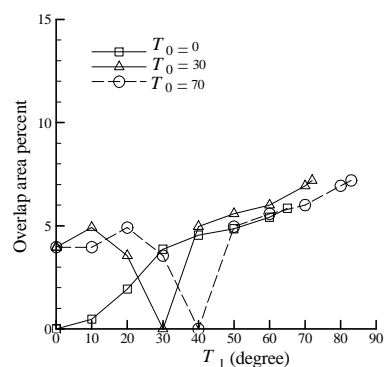
زاویه  $T_1$  بزرگتر از ۴۰ درجه باشد، تأثیر همپوشانی ها و نواحی خالی از الیاف به ترتیب در افزایش و یا کاهش بار کمانش قابل توجه است. همچنین برای  $T_0 > T_1$  اختلاف بین بار کمانش صفحه دارای همپوشانی با صفحه بدون نقص، تقریباً با اختلاف بین بار کمانش صفحه دارای نواحی خالی از الیاف با صفحه بدون نقص یکسان بوده اما در حالت  $T_0 < T_1$  این اختلاف افزایش می یابد. در شکل های ۱۶ تا ۱۹ درصد مساحت همپوشانی ها و نواحی خالی از الیاف نسبت به مساحت صفحه کامپوزیتی ارائه شده است.



شکل ۱۶- درصد مساحت همپوشانی ها نسبت به تغییر زاویه  $T_1$   
در حالت مسیر تغییر خطی زاویه الیاف



شکل ۱۷- درصد مساحت نواحی خالی از الیاف نسبت به تغییر زاویه  $T_1$   
در حالت مسیر تغییر خطی زاویه الیاف



شکل ۱۸- درصد مساحت همپوشانی ها نسبت به تغییر زاویه  $T_1$   
در حالت مسیر شعاع انحناء ثابت

موجب گردید تا بار کمانش نسبت به الیاف مستقیم کاهش یابد. با لحاظ قید ساخت، در جداول ۱۳ تا ۱۵ به ترتیب بیشینه بار کمانش، لایه‌چینی متناظر با آن و درصد افزایش بار کمانش ارائه شده است.

جدول ۱۳- بیشینه بار کمانش با لحاظ قید ساخت

مسیر الیاف	بدون لحاظ نواقص ساخت(N)	با لحاظ همپوشانی(N)	با لحاظ نواعی خالی از الیاف(N)
a	۱۶۷۰۴	-	-
b	۱۶۷۰۴	۱۹۰۹۹	۱۴۹۱۳
c	۱۶۷۰۴	۲۰۴۳۴	۱۴۶۸۵

جدول ۱۴- لایه‌چینی متناظر با بار کمانش بیشینه با لحاظ قید ساخت

مسیر الیاف	بدون لحاظ نواقص ساخت	با لحاظ همپوشانی	با لحاظ نواعی خالی از الیاف
a	[90] <sub>16T</sub>	-	-
b	[90] <sub>16T</sub>	±(60 82) <sub>4s</sub>	±(80 87) <sub>4s</sub>
c	[90] <sub>16T</sub>	±(50 80) <sub>4s</sub>	±(40 74) <sub>4s</sub>

جدول ۱۵- درصد افزایش بار کمانش نسبت به الیاف مستقیم با در نظر گرفتن قید ساخت

مسیر الیاف	بدون لحاظ نواقص ساخت	با لحاظ همپوشانی	با لحاظ نواعی خالی از الیاف
b	.	۱۵	-۱۰
c	.	۲۲	-۱۲

طبق جدول‌های ۱۳ و ۱۵، بدون لحاظ نواقص ناشی از ساخت، الیاف منحنی بار کمانش را افزایش نمی‌دهند. تنها در حضور همپوشانی‌ها بار کمانش افزایش پیدا کرد. وجود نواعی خالی از الیاف موجب گردید تا بار کمانش نسبت به الیاف مستقیم کاهش یابد. با توجه به نتایج به دست آمده، می‌توان گفت که کارایی الیاف منحنی به نسبت منظری طول به عرض صفحه بستگی داشته و برای نسبت منظری طول به عرض کوچکتر از یک، کارایی کاهش می‌یابد. علت این است که شرایط مرزی اعمالی موجب تأثیر همزمان سفتی خمشی در راستای اعمال بار و سفتی خمشی در راستای عمود بر لبه‌ها در برابر کمانش می‌گردد [۹]. با افزایش عرض صفحه، سفتی خمشی در راستای اعمال بار کاهش می‌یابد. بنابراین نقش سفتی خمشی در راستای عمود بر لبه‌ها نمود بیشتری پیدا کرده و قابلیت افزایش بار کمانش ناشی از بهینه الیاف مستقیم برای مقاومت در برابر کمانش ناشی است که زاویه بهینه الیاف مستقیم برای افزایش عرض آن، ۴۵ درجه و برای صفحه با طول کوچکتر از عرض آن، ۹۰ درجه به دست آمد. در مورد صفحه با طول بزرگتر از عرض، هر دو عامل سفتی خمشی در راستای اعمال بار و سفتی خمشی در راستای عمود بر لبه‌ها تأثیرگذار بوده و بنابراین با قرارگیری الیاف در زاویه ۴۵ درجه، هر دو

قید ساخت (کمترین شعاع انحناء مجاز)، الیاف منحنی فرصت کمتری برای انحناء یافته و در نتیجه با کاهش اختلاف بین زوایای  $T_0$  و  $T_1$ ، الیاف منحنی به سمت الیاف مستقیم میل می‌کند. در جدول ۹ نیز مقادیر درصد افزایش بار کمانش با استفاده از الیاف منحنی ارائه شده است.

جدول ۹- درصد افزایش بار کمانش نسبت به الیاف مستقیم با در نظر گرفتن قید ساخت

مسیر الیاف	بدون لحاظ نواعی خالی از الیاف	بدون لحاظ همپوشانی	بدون لحاظ نواقص ساخت
b	۱۴	۲۵	۷
c	۱۹	۲۸	۹

طبق جدول ۹ با در نظر گرفتن قید ساخت، بار کمانش می‌تواند تا ۲۸ درصد و با لحاظ مسیر شعاع انحناء ثابت، افزایش یابد.

۴-۳- کمانش صفحه کامپوزیتی با نسبت منظری طول به عرض کوچکتر از یک

در این بخش بیشینه بار کمانش برای صفحه با عرض ۰۴۰۶۴ متر و طول ۰۲۵۴ متر (نسبت منظری کوچکتر از یک) محاسبه گردیده است. در جدول‌های ۱۰ تا ۱۲ به ترتیب بیشینه بار کمانش، لایه‌چینی متناظر با آن و درصد افزایش بار کمانش ارائه شده است.

جدول ۱۰- بیشینه بار کمانش

مسیر الیاف	بدون لحاظ نواقص ساخت	بدون لحاظ همپوشانی	با لحاظ نواعی خالی از الیاف
a	۱۶۷۰۴	-	-
b	۱۶۷۳۴	۲۰۳۵۰	۱۴۰۲۹
c	۱۷۰۲۷	۲۱۱۲۰	۱۴۹۷۳

جدول ۱۱- لایه‌چینی متناظر با بار کمانش بیشینه

مسیر الیاف	بدون لحاظ نواقص ساخت	بدون لحاظ همپوشانی	با لحاظ نواعی خالی از الیاف
a	[90] <sub>16T</sub>	-	-
b	±(0 84) <sub>4s</sub>	±(10 85) <sub>4s</sub>	±(0 84) <sub>4s</sub>
c	±(30 76) <sub>4s</sub>	±(30 76) <sub>4s</sub>	±(30 76) <sub>4s</sub>

جدول ۱۲- درصد افزایش بار کمانش نسبت به الیاف مستقیم

مسیر الیاف	بدون لحاظ نواعی خالی از الیاف	بدون لحاظ همپوشانی	با لحاظ نواقص ساخت
b	۰۰۱	۲۲	-۱۶
c	۲	۲۶	-۱۰

طبق جداول ۱۰ و ۱۲، بدون لحاظ نواقص ساخت، الیاف منحنی شکل به مقدار ناچیزی بار کمانش را افزایش نمی‌دهند. تنها در حضور همپوشانی‌ها بار کمانش افزایش یافت. وجود نواعی خالی از الیاف

عامل برقرار می‌گردد. اما برای صفحه با طول کوچک‌تر نسبت به عرض،  
به دلیل نقش کم سفتی خمشی در راستای اعمال بار، الیاف با زاویه  
۹۰ درجه بیشترین بار کمانش را موجب می‌گردد.

#### ۴- جمع‌بندی نتایج

در این تحقیق، نتایج زیر حاصل گردید:

(الف) برای صفحه با نسبت منظری طول به عرض بزرگ‌تر از یک:  
۱- با استفاده از الیاف منحنی و بدون لحاظ اثرات نواقص ناشی از  
ساخت، ۶۴ درصد بار کمانش بیشتری با مسیر تغییر خطی زاویه الیاف  
و ۵۴ درصد بار کمانش بیشتری با مسیر شعاع انحنای ثابت، نسبت به  
بار بیشینه کمانش حالت الیاف مستقیم به دست می‌آید.  
۲- با لحاظ اثرات نواقص ساخت، همچنان بیشترین بار کمانش  
متعلق به لایه‌چینی‌های با زوایای کوچک در مرکز صفحه و زوایای  
بزرگ در لبه‌ها است. با در نظر گرفتن اثرات همپوشانی‌ها، بار کمانش  
برای هر دو مسیر بیش از ۹۰ درصد نسبت به بیشینه بار کمانش حالت  
الیاف مستقیم، افزایش می‌یابد. همچنین حتی در حالت صفحه  
کامپوزیتی شامل نواحی خالی از الیاف، بار بیشینه کمانش برای هر دو  
مسیر بیش از ۳۰ درصد از حالت الیاف مستقیم بیشتر است.

۳- دو عامل جهت‌گیری نواقص ساخت و میزان مساحت آن‌ها در  
تأثیرگذاری بر روی میزان بار کمانش موثر است. در مواردی که جهت-

گیری این نواقص به راستای اعمال بار نزدیک گردد، تأثیرگذاری بر

روی میزان بار کمانش بیشتر است. همچنین با افزایش اختلاف بین  $T_1$  و  $T_2$

و  $T_3$ ، مساحت نواقص ساخت افزایش می‌یابد.  
۴- در صورتی که زاویه  $T_0$  بزرگ‌تر از ۴۰ درجه بوده و یا این زاویه  
کوچک‌تر از ۴۰ درجه باشد اما زاویه  $T_1$  بزرگ‌تر از ۴۰ درجه گردد،

تأثیرگذاری همپوشانی‌ها و یا نواحی خالی از الیاف به ترتیب در افزایش

و یا کاهش بار کمانش قابل توجه خواهد بود.

۵- با در نظر گرفتن قید کمترین شعاع انحناء مجاز، بار کمانش

می‌تواند تا ۲۸ درصد افزایش یابد.

(ب) برای صفحه با نسبت منظری طول به عرض کوچک‌تر از یک:

۱- کارایی الیاف منحنی برای این نسبت منظری، کاهش می‌یابد.

#### ۵- مراجع

- [۵] کشمیری ع، قاهری ع، طاهری بهروز ف، ارتعاشات و کمانش صفحات پیضوی کامپوزیتی چند لایه متقارن بر بستر الاستیک وینکلر تحت بار داخل صفحه‌ای اولیه، مهندسی مکانیک مدرس، ۵، ۱۴، ش. ۱، ص. ۱۹-۲۶، ۱۳۹۳.
- [۶] Wu Z., Weaver P.M., Raju G. and Kim B.C., Buckling analysis and optimization of variable angle tow composite plates. *Thin-Walled Structures*, Vol. 60, pp. 163-172, 2012.
- [۷] Wu Z., Raju G. and Weaver P.M., Buckling of VAT plates using energy methods. In *53rd AIAA/ASME/ASCE/AHS/ASC Structures, Structural Dynamics and Materials Conference*, Honolulu, Hawaii, 2012.
- [۸] Olmedo R. and Gurdal Z., Buckling response of laminates with spatially varying fiber orientations. In *34th AIAA/ASME/ASCE/AHS/ASC Structures, Structural Dynamics and Materials Conference*, La Jolla, CA, 1993.
- [۹] Gurdal Z., Tatting B.F. and Wu C.K., Variable stiffness composite panels: effects of stiffness variation on the in-plane and buckling response. *Composites: Part A*, Vol. 39, pp. 911-922, 2008.
- [۱۰] زمانی ز، رحیمی شعریاف غ و قضایی م، تحلیل چندلایه کامپوزیتی با الیاف منحنی شکل تحت بارگذاری فشاری، هفدهمین کنفرانس سالانه مهندسی مکانیک، تهران، ایران، ۱۳۸۸.
- [۱۱] Waldhart C., Gurdal Z., Ribbens C., Analysis of tow placed, parallel fiber, variable stiffness laminates. In *20th ASME/ASCE/AHS/ASC structures, structural dynamics and materials conference*, Salt Lake city, UT, 1996.
- [۱۲] Arian Nik M., Fayazbakhsh K., Pasini D., Lessard L., Optimization of variable stiffness composites with embedded defects induced by automated fiber placement. *Composite Structures*, Vol. 107, pp. 160-166, 2014.
- [۱۳] Fayazbakhsh K., Arian Nik M., Pasini D., Lessard L., Defect layer method to capture effect of gaps and overlaps in variable stiffness laminates made by automated fiber placement. *Composite Structures*, Vol. 97, pp. 245-251, 2013.
- [۱۴] Peng H., Chen L., Xiaojie Y., Bo W., Gang L., Tianyu Z., Fei N., Buckling optimization of variable-stiffness composite panels based on flow field function. *Composite Structures*, Vol. 181, pp. 240-255, 2017.
- [۱۵] تپور ح، شکریه م.م و کبیری ع، کمانش صفحه کامپوزیتی ساخته شده از الیاف منحنی با تغییر خطی و غیرخطی جهت الیاف، مجله علوم و فناوری کامپوزیت، ۵، ش. ۴، ص. ۴۰۵-۴۱۷، ۱۳۹۶.
- [۱۶] Blom A.W., Lopes C.S., Kromwijk P.J., Gurdal Z. and Camanho P.P., A theoretical model to study the influence of tow-drop areas on the stiffness and strength of variable-stiffness laminates. *Composite Materials*, Vol. 43, No. 5, pp. 403-425, 2009.
- [۱۷] Marouene A., Boukhili R., Chen J. and Yousefpour A., Buckling behavior of variable-stiffness composite laminates manufactured by the tow-drop method. *Composite Structures*, Vol. 139, pp. 243-253, 2016.
- [۱۸] Marouene A., Boukhili R., Chen J. and Yousefpour A., Effects of gaps and overlaps on the buckling behavior of an optimally designed variable-stiffness composite laminates – A numerical and experimental study. *Composite Structures*, Vol. 140, pp. 556-566, 2016.
- [۱۹] Gurdal Z. and Olmedo R., In-plane response of laminates with spatially varying fiber orientations: variable stiffness concept. *AIAA Journal*, Vol. 31, No. 4, pp. 751-758, 1993.
- [۲۰] Fayazbakhsh K., *The impact of gaps and overlaps on variable stiffness composites manufactured by automated fiber placement*, PhD Thesis, McGill University, Canada, 2013.